

## (242) Fe-Si-O 系溶鉄の凝固過程における $\text{SiO}_2$ 介在物の生成について

東北大 金属材料研究所 ○坂上六郎  
(現: 日本重化學工業) 坂井興士

緒言: 鉄鋼中の介在物の分布状態、形態、組成などは凝固過程における介在物の生成挙動によつて著しい影響をうけると考えられるが、冷却凝固時の介在物の生成については現在なお不明の点が多い。本研究では、Fe-Si-O系溶鉄からの  $\text{SiO}_2$  介在物の生成機構を解明しようとするものである。

実験方法:  $1600^{\circ}\text{C}$  もしくは  $1645^{\circ}\text{C}$  に保持した  $\text{SiO}_2$  堆積中の溶鉄やく 600 g に所定量の Si (0.04~0.85%) を添加し、平衡状態に到達した20分後に高周波の加熱電源を切斷し、温度が  $1555^{\circ}\text{C}$  あるいは  $1600^{\circ}\text{C}$ ,  $1555^{\circ}\text{C}$  に低下したとき、Caサンプラー（内径 4 mm）、シリカチューブ（4 mm）、シリカサンプラー（10 mm）などで1回目の試料を採取する。以後図1の手順で冷却加熱をくりかえし、2回目以降も上記の各温度で試料を採取し、介在物の生成状況を詳細に観察した。

介在物の粒度分布: 図2には、 $1600^{\circ}\text{C}$  で Si 0.1% 添加後  $1555^{\circ}\text{C}$  の各時刻①, ②, ③, ④でシリカチューブによって採取した試料中の介在物の粒度分布を示した。介在物は大、中、小と大きさの異なる、しかもながらそれそれがほぼ均一な大きさの3種類の粒子から成りたっており（小粒子には樹枝状介在物が食まれる）、このうち大、中粒子の粒径は冷却加熱のくりかえしに伴つて増大する。

大、中粒子の粒子数変化: 大粒子数は Si 添加量、試料採取法に無関係に①回目 ~  $5 \cdot 10^6 \text{ cm}^3$  から④回目 ~  $5 \cdot 10^4 \text{ cm}^3$  と冷却加熱のくりかえしとともに次第に減少する。一方中粒子は Si 添加量が高く、冷却速度の遅い採取法では減少し、また②回目以降増加する傾向を示す。

介在物の分布状態: 大粒子は試料の断面に at random に分布する。これに対して中粒子は試料外周部の denuded zone の内側に形成されているセル状凝固組織のセルの内部に、また小粒子はセルの境界部に選択的に存在している。denuded zone の巾は  $100 \sim 200 \mu\text{m}$  であるが、Si 添加量が高く、冷却速度の遅い試料では増大する。セル間隔は  $10 \sim 100 \mu\text{m}$  で、冷却速度の遅い試料ほど大きい。

粒子形態:  $\text{SiO}_2$  粒子の形態は冷却加熱のくりかえし、Si 添加量、浴の攪拌状態などによつて著しく変化する。1例として、Si 0.1% 添加、シリカチューブによる試料採取では、大粒子は①, ②回目はすべて球形であるが、③回目以降から raspberry type (写真1, 右) の介在物が多数生成する。中粒子にも③回目以降 double-leaf type (写真1, 左) や raspberry type の介在物が多発するようになる。しかもながら小粒子には形態、大きさの変化は認められない。

これらの事実から、大粒子は冷却過程で生成したもの、また中粒子は試料の凝固時固液界面の前方で、さらに小粒子は最終凝固相であるセルの境界部に生成したものと断定することができます。  
さらには  $1645^{\circ}\text{C}$  から冷却した場合、 $1600^{\circ}\text{C}$ ,  $1555^{\circ}\text{C}$  で採取した試料の大粒子数はよく一致しており、大粒子の成長は  $\mu\text{o}-\text{age}$  に成長した粒子の衝突・凝集によるものではないことが確認された。

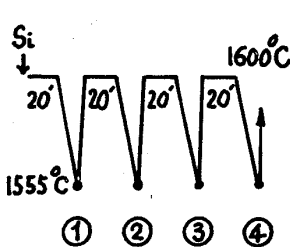


図1. 実験手順

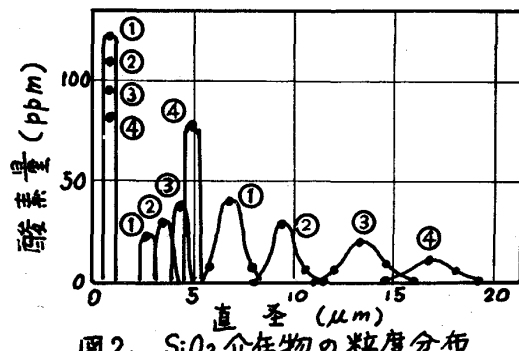


図2.  $\text{SiO}_2$  介在物の粒度分布

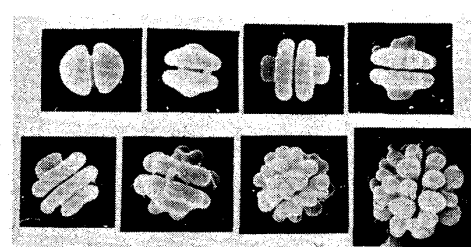


写真1. Double-leaf & Raspberry Type